

LARROZE Chloé – MP Option SII  
Candidat N°27871

# TIPE : Description fractale des tissus urbains et du réseau viaire d'une ville

*Session 2022–2023*

*Thème: La ville*



# Sommaire

***Problématique*** : Comment modéliser et étudier le flux urbain par le prisme de la forme des villes ?



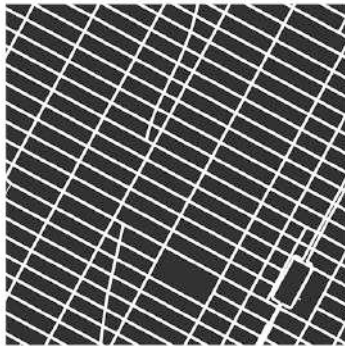
- 01. Introduction
- 02. Les fractales : définition et caractéristique
  - \*Définition et exemples de fractale
  - \*Propriétés
- 03. La ville comme fractale
  - \*Comment modéliser une ville comme une fractale ? Exemples de modèles existants.
  - \*Analyse des propriétés fractales de villes réelles.
- 04. Application pratique
- 05. Limites et perspectives
- 06. Conclusion

# Introduction

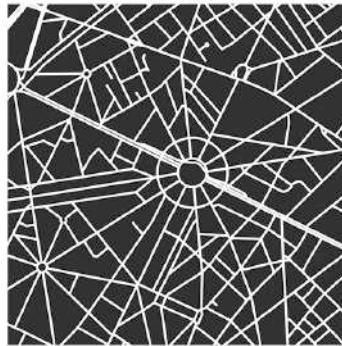
01.

Source :  
Geoff Boeing

**NEW YORK**



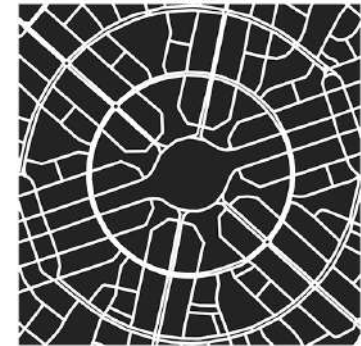
**PARIS**



**BOSTON**



**DUBAI**



**TUNIS**



**ATLANTA**



**SACRAMENTO**



**OSAKA**



## 02. LES FRACTALES : DÉFINITIONS ET CARACTÉRISTIQUES

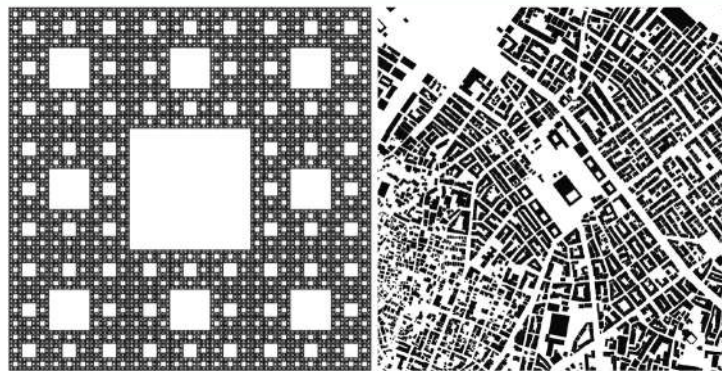
# Les fractales : définition et caractéristiques

Source : université de Laval

## Définition 1.1: objet fractal

Un objet fractal est un objet qui respecte les trois propriétés suivantes :

- irrégulier à toutes les échelles ;
- auto-similaire;
- de dimension non-entière.



*Schéma urbain fractal d'Istanbul*

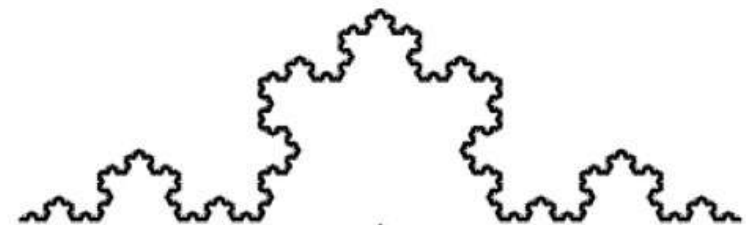
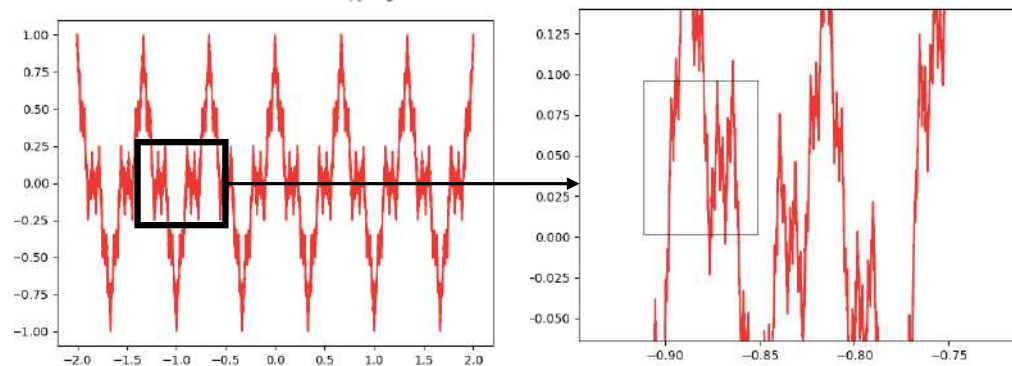
# Les fractales : définition et caractéristiques

Source : université de Laval

## Définition 1.2: Irrégularité

Un objet est irrégulier à toutes les échelles si, même en le regardant de plus en plus près (par exemple avec un zoom), il apparaît toujours irrégulier (non lisse).

$$w(x) = \sum_{n=0}^{\infty} b^n \cos(a^n \pi x),$$





# Les fractales : définition et caractéristiques

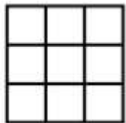
Source : université de Laval

## Définition 1.3: Auto-similarité

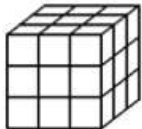
Un objet  $F$  est auto-similaire s'il se décompose en un nombre fini de parties  $F_1, F_2, \dots, F_N$  qui sont toutes similaires à l'objet entier  $F$ . Une partie  $F_i$  est similaire à  $F$  s'il existe un facteur de dilatation  $s$  tel que si l'on dilate  $F_i$  d'un facteur  $s$ , on retrouve  $F$  au complet.



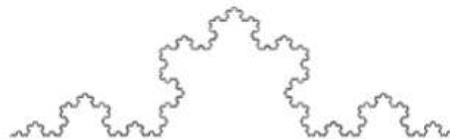
$$\begin{aligned} N &= 3 \\ s &= 3 \end{aligned}$$



$$\begin{aligned} N &= 9 \\ s &= 3 \end{aligned}$$



$$\begin{aligned} N &= 27 \\ s &= 3 \end{aligned}$$



$$\begin{aligned} N &= 4 \\ s &= 3 \end{aligned}$$

# Les fractales : définition et caractéristiques

Source : université de Laval

## Définition 1.4: Similitude

Une similitude du plan est une application  $w : R^2 \rightarrow R^2$  telle que  $\|w(P) - w(Q)\| = k \|P - Q\|$  pour tout  $P \in R^2$  et tout  $Q \in R^2$  où  $k$  est une constante appelée rapport de similitude  $w$ .

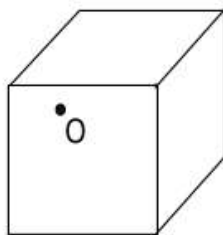
## Définition 1.5: Similitude et auto-similitude

Un ensemble  $F \subset R^2$  est auto-similaire s'il existe des similitudes  $w_1, \dots, w_N$  telles que  $F = w_1(F) \cup \dots \cup w_N(F)$



# Les fractales : définition et caractéristiques

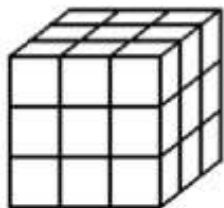
Cube



**Dimension de similitude :**

$N = s^d$ , où  $d$  est la dimension. Ainsi, on a la dimension d'un objet se décomposant en  $N$  parties similaires de dilatation  $s$  est :  $d = \frac{\log(N)}{\log(s)}$

Courbe différentiable

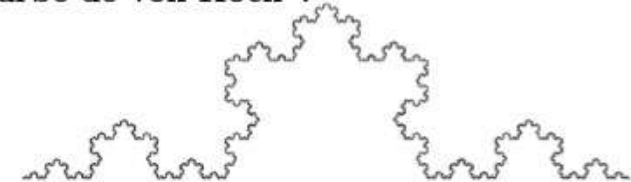


$$N = 27$$

$$s = 3$$

$$N = s^3$$

**Dimension de la courbe de von Koch :**



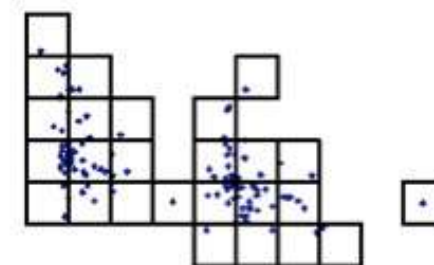
On a  $N = 4$  et  $s = 3$ . Ainsi

$$d = \frac{\log 4}{\log 3} = 1.261859 \dots$$

# Les fractales : définition et caractéristiques

## Définition 1.6: Dimension de Box-counting

Soit  $K$  un sous-ensemble compact de  $R^2$ . Considérons un quadrillage du plan par des carrés de côtés  $\epsilon$  et désignons par  $N(\epsilon, K)$  le nombre de carrés de ce quadrillage qui contiennent des points de  $K$ .



Carrés d'un quadrillage rencontrant  $K$

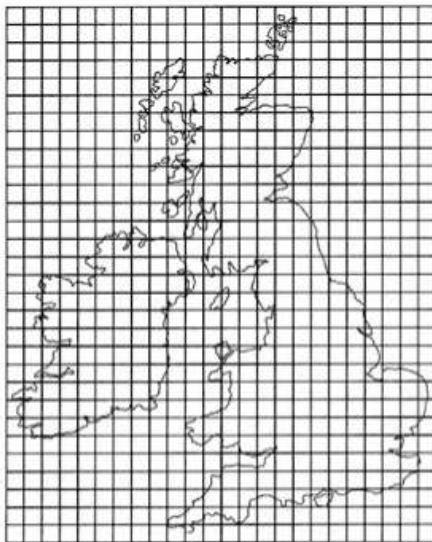
La **dimension fractale**, notée  $D_f$ , est définie par

$$D_f = \lim_{\epsilon \rightarrow 0} \frac{\log(N(\epsilon, K))}{\log(\frac{1}{\epsilon})}$$

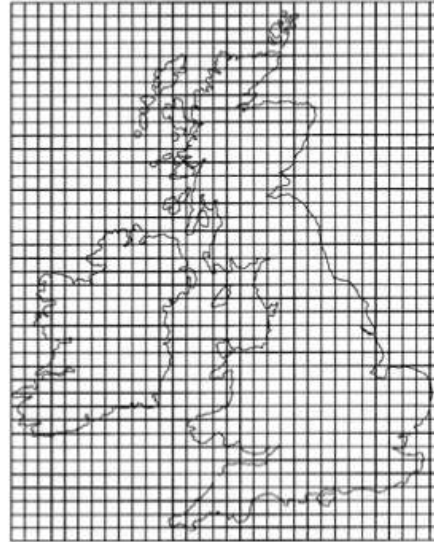
# Les fractales : définition et caractéristiques

**Exemple** : longueur de la côte d'Angleterre

Image : Université de Laval



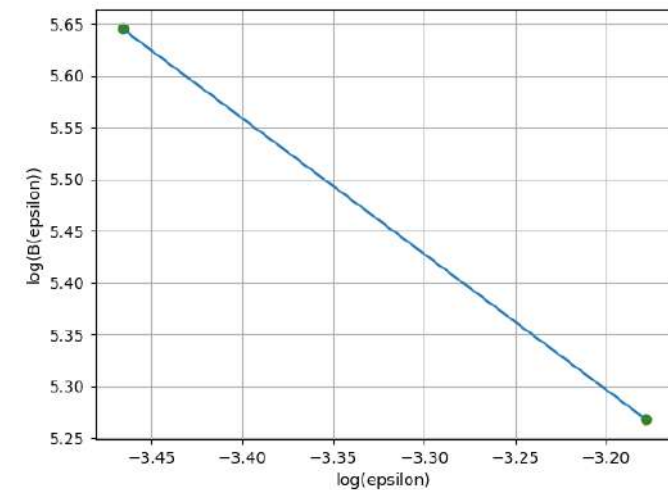
Grille avec des carrés de côtés  $\frac{1}{24}$



Grille avec des carrés de côtés  $\frac{1}{32}$

$\beta(\epsilon_1, \Gamma) = 194$  et  $\beta(\epsilon_2, \Gamma) = 283$

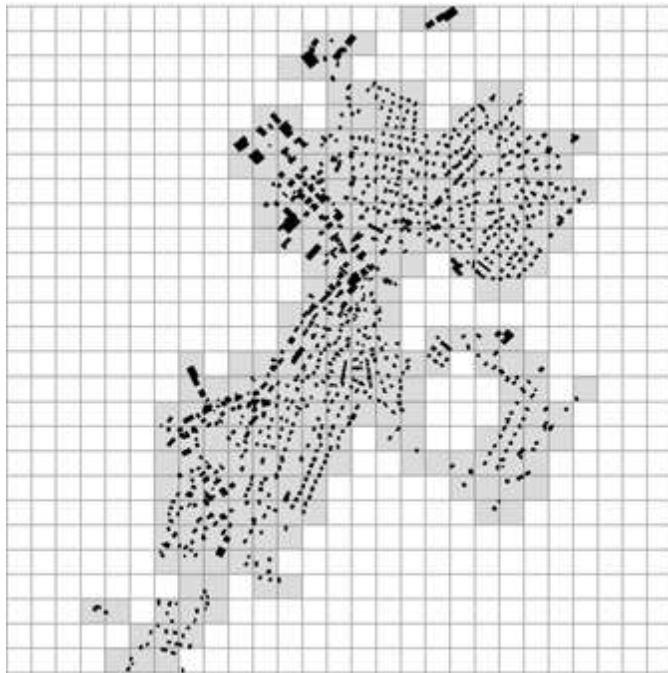
$D_f$  est la pente de la droite reliant les points  $(\log(\epsilon), \log\beta(\epsilon, \Gamma))$



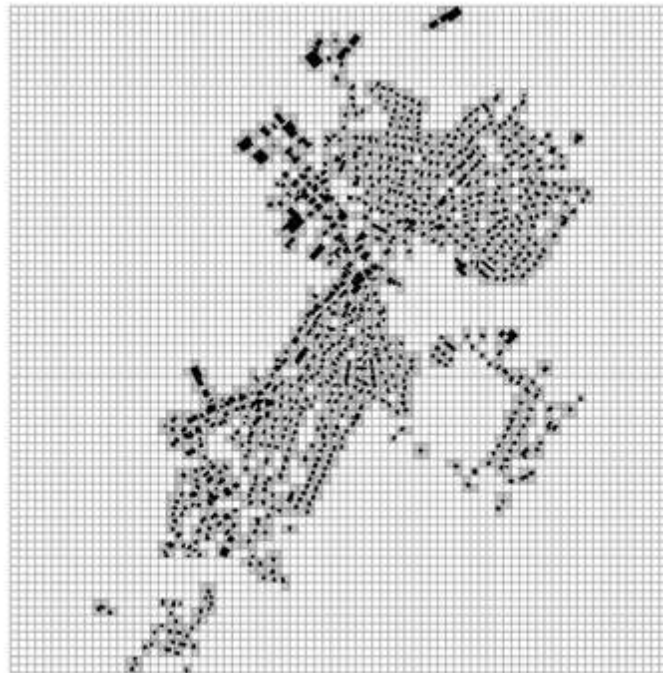
$$D_f \simeq \frac{\log 283 - \log 194}{\log 32 - \log 24} \simeq 1.31.$$

## 03. LA VILLE COMME FRACTALE

# La ville comme fractale



Troisième étape (maille d'ordre 3)



Quatrième étape (maille d'ordre 4)

*Image : Pierre Frankhauser*

## Valeurs remarquables:

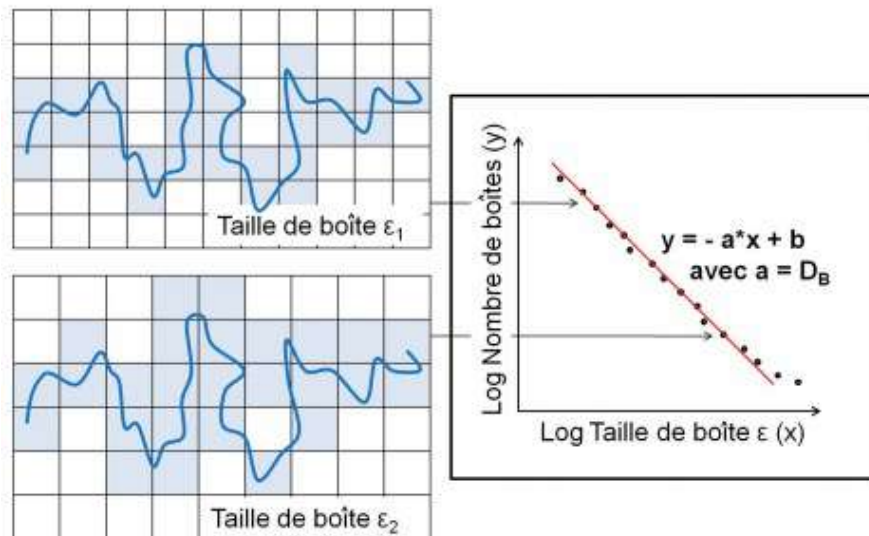
- \*Milan : 1.85
- \*Stuttgart : 1.80

## Matériel :

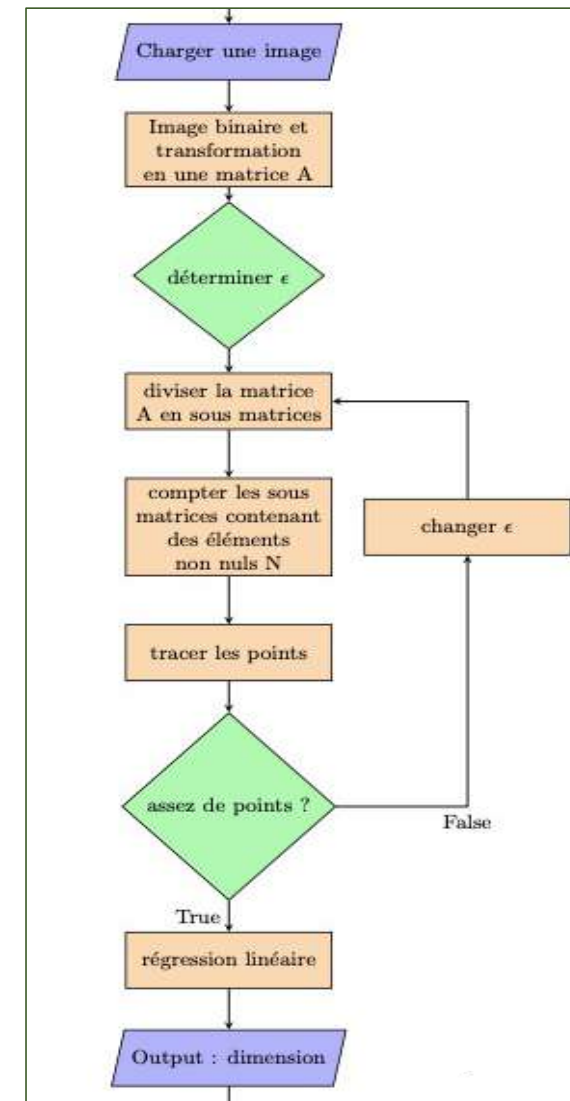
- \*processeur : 2.2 Ghz Intel i7
- \*RAM : 8Go
- \*Python 3.8.4 64 bit

# La ville comme fractale

Principe de l'algorithme de Box counting



Gouyet, 1992



# La ville comme fractale

## *Comparaison des algorithmes de Box counting*

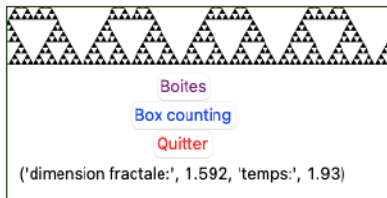


|                | Triangle de Sierpinski |          | Tapis de Sierpinski |          | Plan rempli |           |
|----------------|------------------------|----------|---------------------|----------|-------------|-----------|
|                | Dimension              | Temps    | Dimension           | Temps    | Dimension   | Temps     |
| Algorithme n°1 | 2.026                  | 9.48 sec | 1.843               | 7.21 sec | 1.833       | 10.09 sec |
| Algorithme n°2 | 1.592                  | 1.93 sec | 1.954               | 1.62 sec | 2.041       | 2.65 sec  |



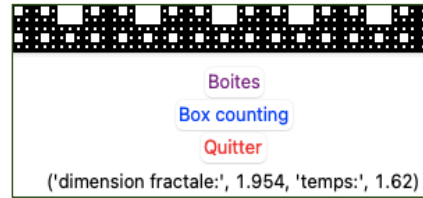
# La ville comme fractale

Résultats de la seconde version de l'algorithme



**Triangle de Sierpinski**  
Dim. Théorique : 1.58

**écart : 0.008**

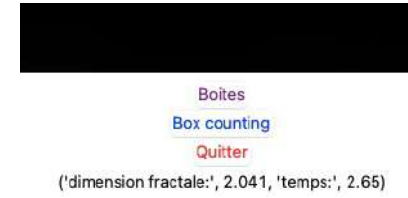


**Tapis de Sierpinski**  
Dim. Théorique : 1.89

**écart : 0.034**



**Écart moyen : 0.02**



**Plan rempli**  
Dim. Théorique : 2

**écart : 0.02**

# La ville comme fractale

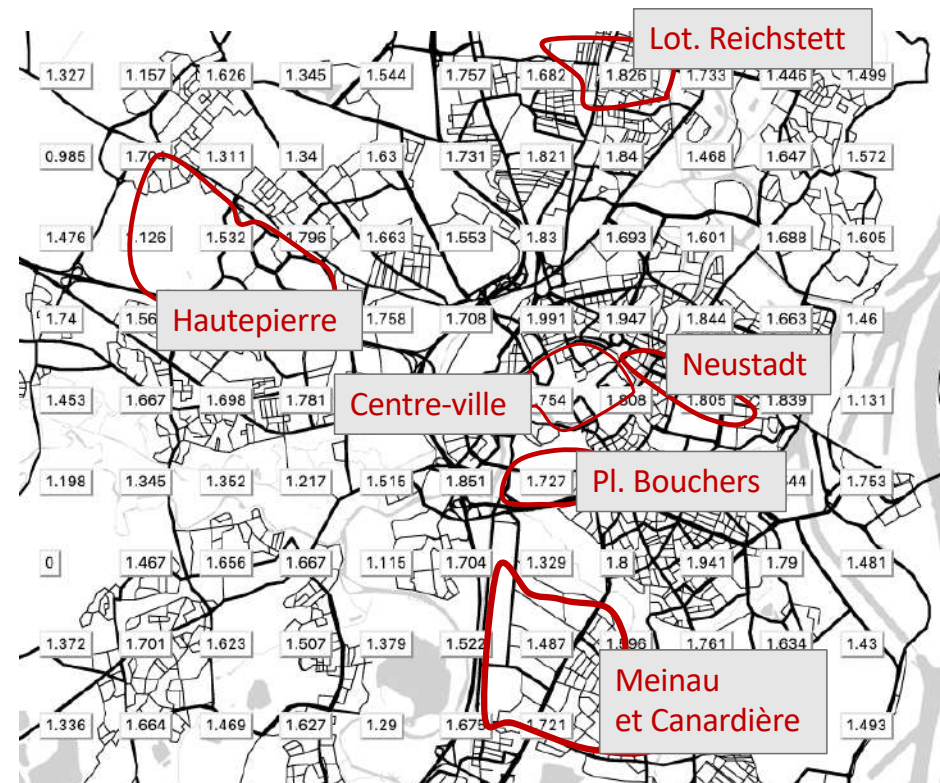
Source carte : [snazzymaps.com](http://snazzymaps.com)

$d = 70$  ( soit des boites  
de 900m environ )

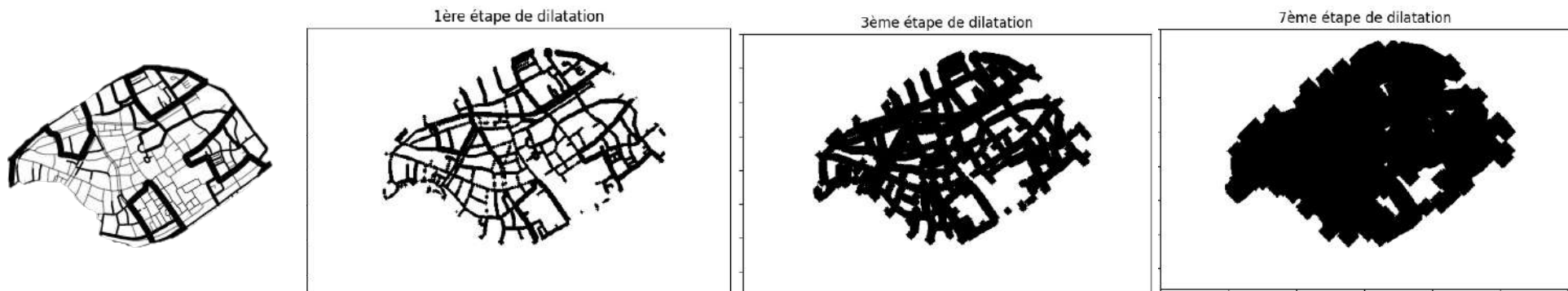
## Validation du modèle : Strasbourg Kehl

| Type                     | Tissus                   | Lieu            |
|--------------------------|--------------------------|-----------------|
| Centre-ville             | Centre ville             | Strasbourg      |
| Habitat                  | Hausmannien              | Neustadt        |
|                          | Lotissement              | Reichstett      |
|                          | Pavillonnaire            | Meinau          |
|                          | Grands ensembles         | Canardière      |
| Industriel et commercial | Industriel et commercial | Meinau-Bouchers |
|                          | Industriel et commercial | Kehl-Industriel |
| Mixte                    | Ville nouvelle           | Hautepierre     |

| Tissus                | $D_{cor}$<br>surface | $D_{cor}$<br>bordure | $D_{exp, surface}$ |
|-----------------------|----------------------|----------------------|--------------------|
| Pavillon. Meinau      | 1,882                | 1,676                | 1,721              |
| Centre-ville          | 1,860                | 1,688                | 1,808              |
| Lot. Reichstett       | 1,825                | 1,646                | 1,826              |
| Cité Canardière       | 1,800                | 1,705                | ---                |
| Ind. Pl. des Bouchers | 1,707                | 1,795                | 1,727              |
| Neustadt              | 1,666                | 1,542                | 1,808              |
| Hautepierre           | 1,527                | 1,638                | 1,532              |
| Vendenheim            | 1,415                | 1,831                | -                  |

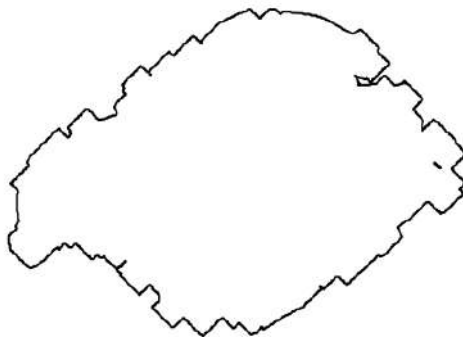
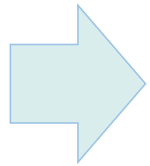


# La ville comme fractale



Exemple : Centre-ville

Bordure extraite

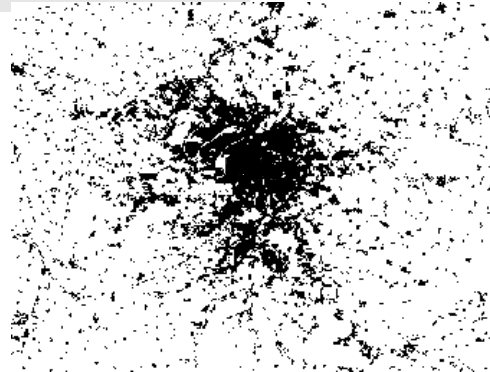
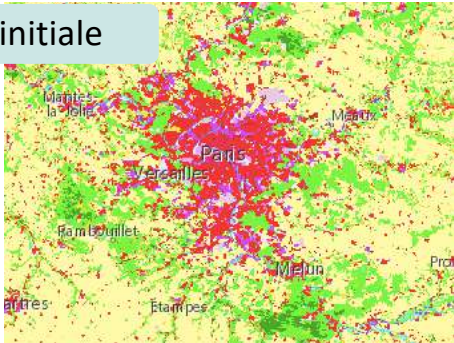


| Tissus                | $D_{cor}$<br>surface | $D_{cor}$<br>bordure | $D_{exp}$ , bordure |
|-----------------------|----------------------|----------------------|---------------------|
| Pavillon. Meinau      | 1,882                | 1,676                | 1,335               |
| Centre-ville          | 1,860                | 1,688                | 1,355               |
| Lot. Reichstett       | 1,825                | 1,646                | 1,458               |
| Cité Canardière       | 1,800                | 1,705                | ---                 |
| Ind. Pl. des Bouchers | 1,707                | 1,795                | 1,603               |
| Neustadt              | 1,666                | 1,542                | 1,376               |
| HautePierre           | 1,527                | 1,638                | 1,432               |
| Vendenheim            | 1,415                | 1,831                | ---                 |

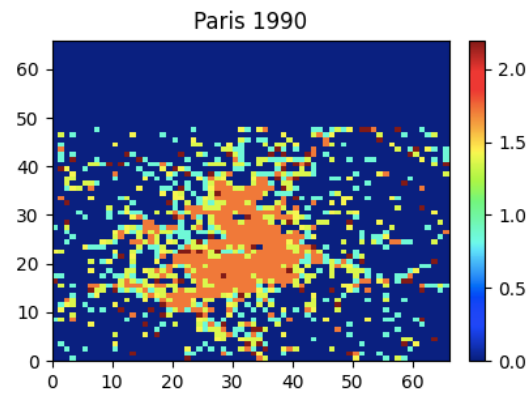
## 04. APPLICATION PRATIQUE À LA VILLE DE PARIS

# Application pratique

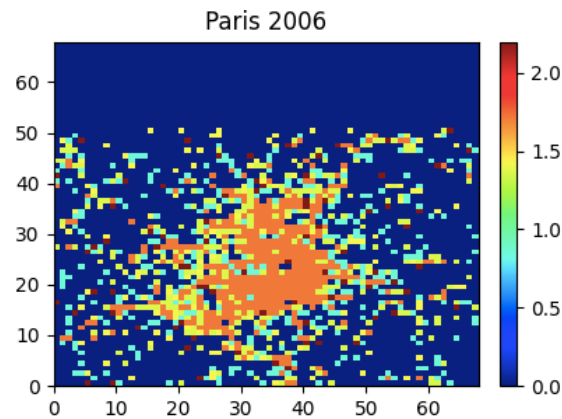
Carte initiale



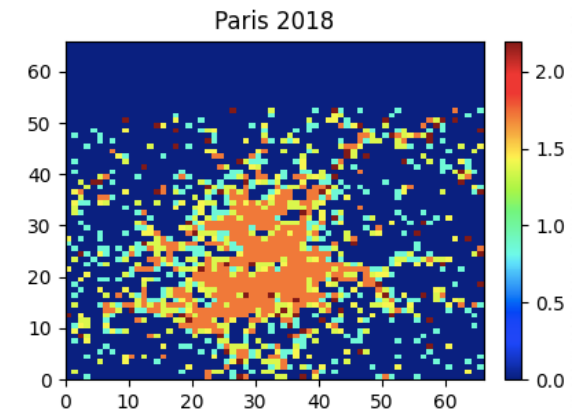
Source carte : Copernicus Land Monitoring Service



30 km

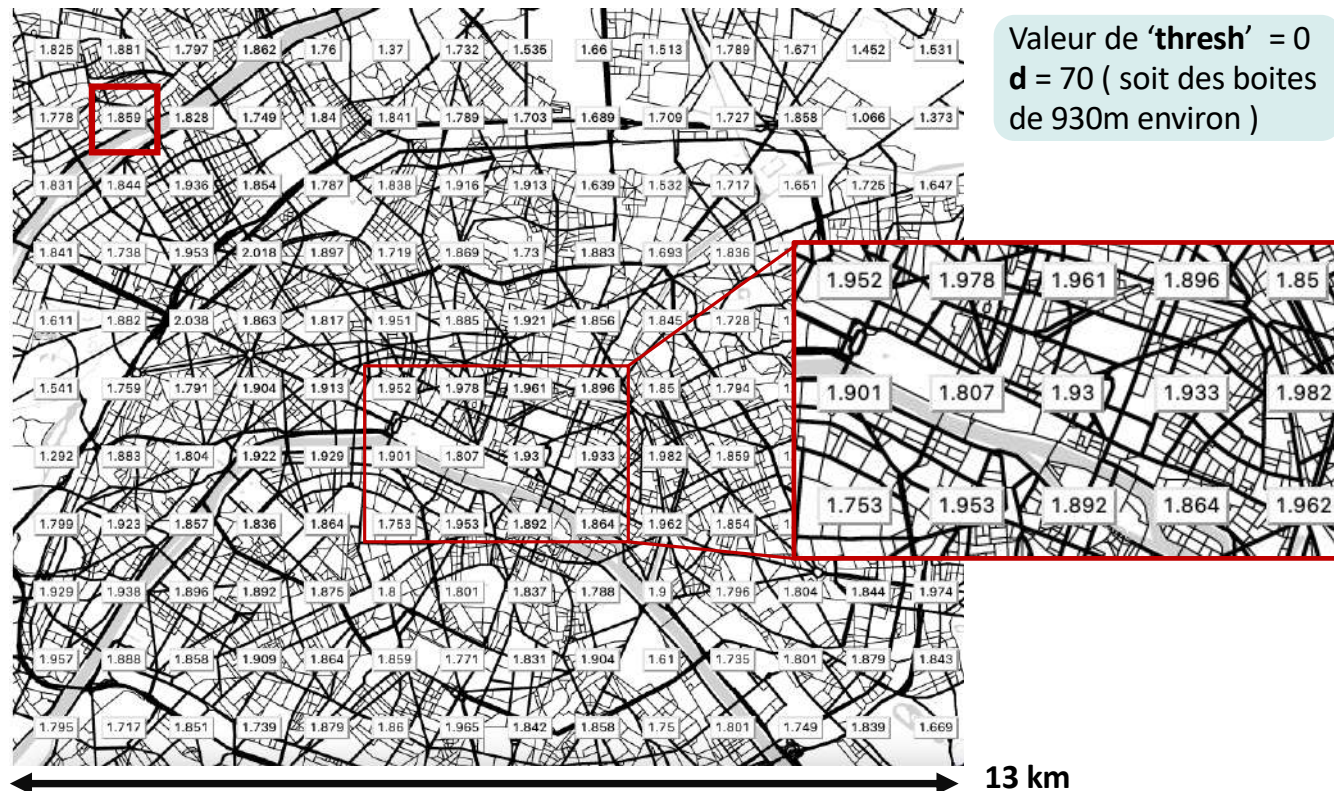


Échelle : 1 carré vaut 400m





# Application pratique



# Application pratique





# Application pratique

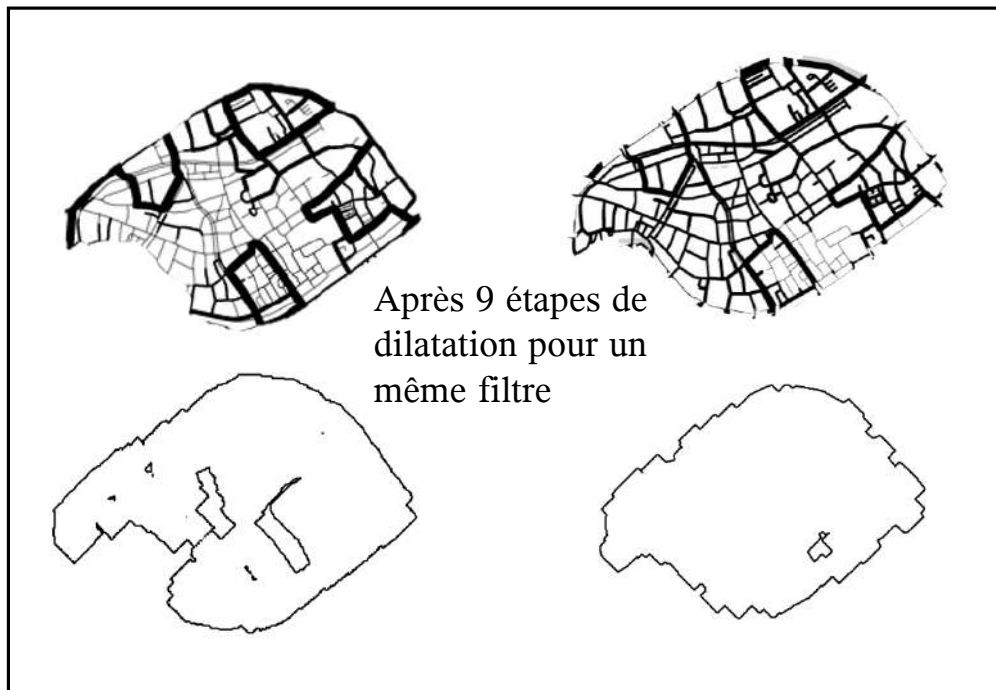


| Arrondissement    | $D_{\text{surface}}$ | $D_{\text{bordure}}$ | $D_{\text{th-Fractalyse}}$ |
|-------------------|----------------------|----------------------|----------------------------|
| 1 <sup>er</sup>   | 1,653                | 1,330                | 1,598                      |
| 4 <sup>ème</sup>  | 1,69                 | 1,336                | ---                        |
| 5 <sup>ème</sup>  | 1,701                | 1,288                | 1,690                      |
| 16 <sup>ème</sup> | 1,609                | 1,431                | 1,580                      |
| 18 <sup>ème</sup> | 1,75                 | 1,333                | 1,753                      |

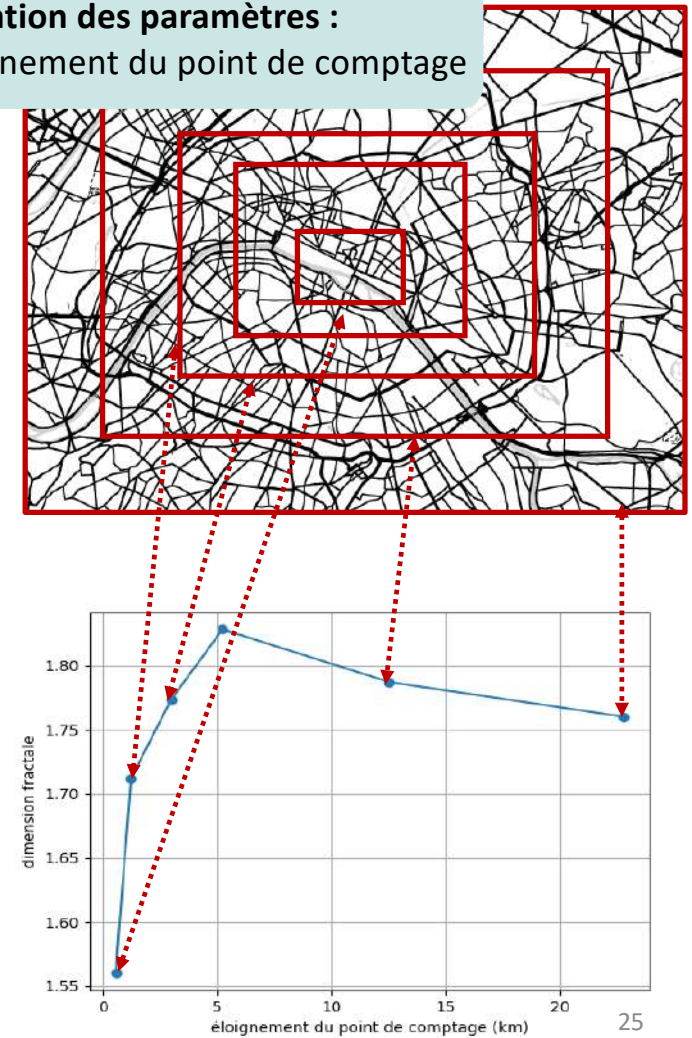
## 05. LIMITES ET PERSPECTIVES

# Limites et perspectives

Variation des paramètres :  
Dimension de surface



Variation des paramètres :  
Éloignement du point de comptage



05.

## 06. CONCLUSION

## 07. ANNEXES

# Annexes

## Complément courbes paramétrées

Source : université de Laval

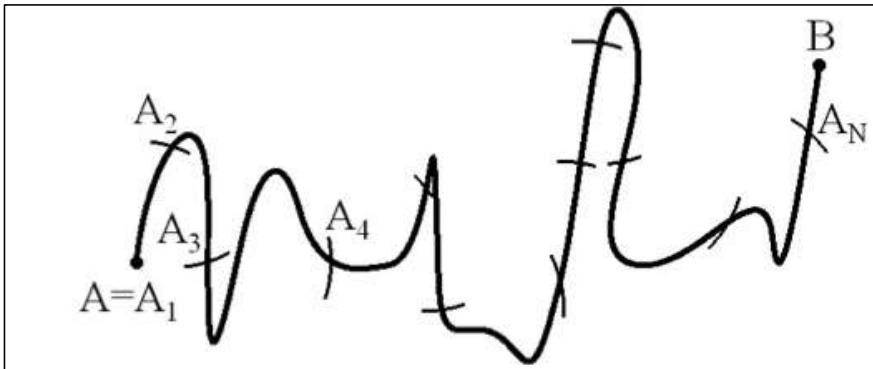
### Définition 1.1: Courbes

Une courbe (bornée)  $\Gamma$  dans  $R^2$  est l'image dans  $R^2$  d'un intervalle  $[a, b]$  par une application continue  $\gamma$ .  
 $\gamma$  est appelée une paramétrisation de la courbe  $\Gamma$ . Si  $\gamma(a) = \gamma(b)$ , on dit que la courbe est fermée.

### Définition 1.3: Courbes

Une courbe  $\Gamma$  de paramétrisation  $\gamma : [a, b] \rightarrow R^2$  est dite  $C^1$  par morceaux si on peut décomposer  $[a, b]$  en sous-intervalles  $[a_i, a_{i+1}]$ ,  $i \in 0, \dots, p-1$  où  $a_0 = a < a_1 < a_2 < \dots < a_p = b$  tels que la restriction de  $\gamma$  à chaque sous-intervalle soit de classe  $C^1$ .

### Longueur obtenue avec le compas



Soit  $P_\varepsilon$  l'approximation linéaire par morceaux passant par les points  $A_1, A_2, \dots, A_N, B$  et désignons par  $N(\varepsilon)$  le nombre  $N$ , c'est-à-dire  $P_\varepsilon$  est constitué de  $N(\varepsilon) - 1$  segments de longueur  $\varepsilon$  et d'un segment  $([A_N, B])$  de longueur  $\leq \varepsilon$ . Ainsi,

$$\varepsilon(N(\varepsilon) - 1) \leq \ell(P_\varepsilon) \leq \varepsilon N(\varepsilon)$$

et par définition de la longueur  $\ell(\Gamma)$  de  $\Gamma$ , on a

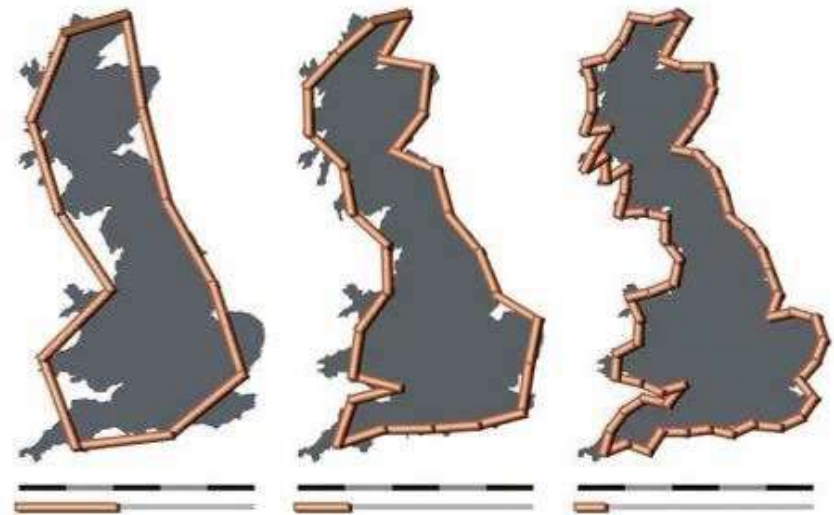
$$\begin{aligned} \ell(\Gamma) &= \lim_{\varepsilon \rightarrow 0} \ell(P_\varepsilon) \quad \text{d'où} \\ \lim_{\varepsilon \rightarrow 0} \varepsilon(N(\varepsilon) - 1) &\leq \ell(\Gamma) \leq \lim_{\varepsilon \rightarrow 0} \varepsilon N(\varepsilon) \\ \lim_{\varepsilon \rightarrow 0} \varepsilon N(\varepsilon) - \lim_{\varepsilon \rightarrow 0} \varepsilon &\leq \ell(\Gamma) \leq \lim_{\varepsilon \rightarrow 0} \varepsilon N(\varepsilon) \\ \lim_{\varepsilon \rightarrow 0} \varepsilon N(\varepsilon) &\leq \ell(\Gamma) \leq \lim_{\varepsilon \rightarrow 0} \varepsilon N(\varepsilon) \quad \text{et donc} \\ \ell(\Gamma) &= \lim_{\varepsilon \rightarrow 0} \varepsilon N(\varepsilon). \end{aligned}$$

# Annexes

## Complément courbes paramétrées

| Ouverture du compas<br>(en km) | Longueur<br>(en km) |
|--------------------------------|---------------------|
| 500                            | 2 600               |
| 100                            | 3 800               |
| 54                             | 4 770               |
| 17                             | 8 640               |

*Différentes longueurs de la côte de la Grande-Bretagne*



*Source : Wikipédia*



# Annexes

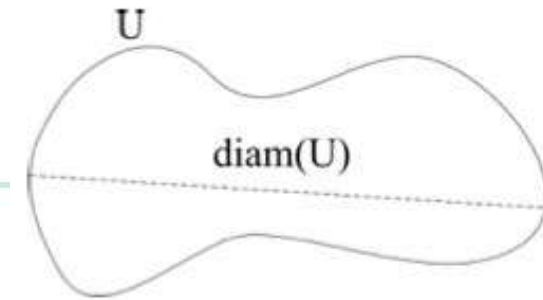
## Complément dimension de Hausdorff

Source : université de Laval

Cependant, la dimension de Hausdorff est en général très difficile (voire impossible) à calculer, mais elle possède les bonnes propriétés mathématiques et pour beaucoup de sous-ensembles intéressants, elle coïncide avec la dimension fractale. C'est la raison pour laquelle la dimension fractale (surtout la version «box-counting») est celle qui est la plus utilisée dans la pratique.

### Définition 1.1: Diamètre

Soit  $U \subset \mathbb{R}^n$ . Le diamètre de  $U$  est  
$$\text{diam}(U) = \sup d_2(P, Q) \mid P, Q \in U.$$



### Définition 1.2: Diamètre

Soit  $U \subset \mathbb{R}^n$ . Un recouvrement ouvert de  $K$  est une famille dénombrable (ou finie)  $U_1, U_2, U_3, \dots, U_n, \dots$  de sous-ensembles ouverts telle que

$$K \subset \bigcup_{i=1}^{\infty} U_i$$

# Annexes

## *Complément dimension de Hausdorff*

### **Proposition 1.1**

Soient  $s$  et  $\epsilon$  deux nombres positifs, on pose

$$h_{\epsilon}^s(K) = \inf \left( \sum_{i=1}^{\infty} (\text{diam}(U_i))^s \right)$$

où l'inf est pris sur tous les recouvrements ouverts  $U_1, U_2, U_3, \dots, U_n$  de  $K$  tels que  $\text{diam}(U_i) \leq \epsilon$  pour  $i = 1, 2, 3, \dots$ . Notons que cette quantité peut être infinie.

On a  $h_{\epsilon_1}^s(K) \leq h_{\epsilon_2}^s(K)$  si  $\epsilon_2 < \epsilon_1$  c'est-à-dire, avec  $s$  fixé, la fonction  $\epsilon \mapsto h_{\epsilon}^s(K)$  est décroissante. Évidemment, elle est aussi positive. Ainsi,  $\lim_{\epsilon \rightarrow 0} h_{\epsilon}^s(K)$  existe (elle peut être  $\infty$ ).

# Annexes

## Complément dimension de Hausdorff

### Définition 1.3: Dimension de Hausdorff

La mesure s-dimensionnelle de Hausdorff, notée  $h^s(K)$ , est cette limite:

$$h^s(K) = \lim_{\epsilon \rightarrow 0} h_\epsilon^s(K) \in [0, \infty].$$

### Définition 2.1: $D_H$

Soit  $K$  un sous-ensemble borné de  $\mathbb{R}^n$ . Alors, il existe un unique nombre réel  $D_H \in [0, n]$  tel que

$$h^s(K) = \begin{cases} \infty & \text{si } s < D_H \\ 0 & \text{si } s > D_H \end{cases}$$

$D_H$  est appelé la dimension de Hausdorff de  $K$  que l'on désigne aussi  $D_H(K)$ .

– Si  $K \subset \mathbb{R}^n$  est borné, on a toujours

$$0 \leq D_H(K) \leq D_f(K) \leq n.$$

– Si  $K \subset \mathbb{R}^n$  est auto-similaire et se décompose en parties  $K_1, \dots, K_N$  similaires qui sont disjointes ou s'effleurent, on a

$$D_s(K) = D_f(K) = D_H(K).$$

# Annexes

## *Complément dimension de similitude*

### **Définition 3.1: Dimension similitude**

Il y a un cas particulier intéressant, celui des compacts auto-similaires. de similitudes  $s_1, \dots, s_N$  de  $R^n$ , avec  $N \geq 1$ , de rapport  $r_1, \dots, r_N$  inférieur strict à 1, tels que

$$K = s_1(K) \cup \dots \cup s_N(K).$$

La dimension d'auto-similarité de  $K$  est alors l'unique réel  $s$  tel que :

$$r_1^s + \dots + r_N^s = 1.$$

# Annexes

## 1 Algorithme de Box counting - version n°1

```
# Import bibliothèques
import numpy as np
import matplotlib.pyplot as plt
from PIL import Image

def est_noir(image, epsilon):
    height, width = image.shape
    s = 0 # Nombre de boîtes contenant un pixel noir

    # Parcours de l'image avec une taille de boîte donnée
    for i in range(0, height - epsilon + 1, epsilon):
        for j in range(0, width - epsilon + 1, epsilon):
            box = image[i:i+epsilon, j:j+epsilon]
            if np.sum(box) > 0:
                s += 1

    return s

def box_counting(image, min_epsilon, max_epsilon, num_boites):
    boites = np.logspace(np.log10(min_epsilon), np.log10(max_epsilon),
        ↪ num_boites, dtype=int)
    boxes = []
```

```
# Calcul du nombre de boîtes pour chaque taille de boîte
for boite in boites:
    count = est_noir(image, boite)
    boxes.append(count)

box_counts = np.array(boxes)
boites = np.array(boites)

# Régression linéaire pour estimer la dimension fractale
coeffs = np.polyfit(np.log(boites), np.log(box_counts), 1)
dimension = -coeffs[0]

return dimension
```

```
# Utilisation
chemin_image = 'SIERPINSKI.png' #fichier image
min_epsilon = 1
max_epsilon = 100
num_boites = 10

# Ouverture de l'image à l'aide de PIL
image = Image.open(chemin_image).convert('L') # Conversion en niveaux de gris
image = np.array(image)

dimension = box_counting(image, min_epsilon, max_epsilon, num_boites)
print("Dimension fractale de "+chemin_image+":", dimension)
```

# Annexes

## 2 Algorithme de Box counting - version n°2

```
# Import bibliothèque
from PIL import Image
import numpy as np
import pylab as pl
import time

def Box_counting(image_mat):
    # Chronomètre
    t_debut = time.time()

    image = Image.open(image_mat) # Création d'une matrice
    image_gris = image.convert('L') # Conversion en nuances de gris

    image_matrix = np.asmatrix(image_gris).copy() # Adaptation numpy

    thresh = 128 # 0:pixel noir - 255:pixel blanc -> valeur du thresholding

    for i in range(image.size[1]): # Hauteur
        for j in range(image.size[0]): # Largeur
            if image_matrix[i,j] > thresh:
                image_matrix[i,j] = 255 # Blanc
            else:
                image_matrix[i,j] = 0 # Noir

    # Liste des coordonnées de pixel noirs
    liste_pixel=[]
    for i in range(image.size[1]):
        for j in range(image.size[0]):
            if image_matrix[i,j] == 0: # Le pixel est noir
                liste_pixel.append((i,j)) # Ajout du pixel dans la matrice

    Lx=image_gris.size[0]
    Ly=image_gris.size[1]
    pixels_matrice=pl.array(liste_pixel) # Conversion pylab array

    # On ne considère que l'échelle logarithmique
    echelles=np.logspace(1, 8, num=20, endpoint=False, base=2) #ln(2)

    Ns=[]
```

```
# Boucle de 'plusieurs échelles'
for echelle in echelles:
    print ('===== Échelle :', echelle)
    # Graphe
    H, edges=np.histogramdd(pixels_matrice,
        ↳ bins=(np.arange(0,Lx,echelle),np.arange(0,Ly,echelle)))
    Ns.append(np.sum(H > 0))

# Regression linéaire
coeffs=np.polyfit(np.log(echelles), np.log(Ns), 1)

D = round(-coeffs[0], 3) # Opposé de la pente

# Style tracé
pl.plot(np.log(echelles),np.log(Ns), 'o', mfc='none', label='data')
pl.plot(np.log(echelles), np.polyval(coeffs,np.log(echelles)),label='fit')
↳ #Régression
pl.xlabel('log $\\epsilon$') # Taille de la boîte considérée
pl.ylabel('log N')
pl.title( image_mat + ' D = '+str(D))
pl.show()

# Stop chronomètre
temps = time.time()-t_debut

return (D, round(temps, 3) )

print(Box_counting('SIERPINSKI.png'))
```

# Annexes

## 3 Algorithme Box counting Tkinter

```
# Import bibliothèque
from PIL import Image
import numpy as np
import pylab as pl
import time

def Box_counting(image_mat):
    # Chronomètre
    t_debut = time.time()

    image = Image.open(image_mat) # Création d'une matrice
    image_gris = image.convert('L') # Conversion en nuances de gris

    image_matrix = np.asmatrix(image_gris).copy() # Adaptation numpy

    thresh = 128 # 0:pixel noir - 255:pixel blanc -> valeur du thresholding

    for i in range(image.size[1]): # Hauteur
        for j in range(image.size[0]): # Largeur
            if image_matrix[i,j] > thresh:
                image_matrix[i,j] = 255 # Blanc
            else:
                image_matrix[i,j] = 0 # Noir

    # Liste des coordonnées de pixel noirs
    liste_pixel=[]
    for i in range(image.size[1]):
        for j in range(image.size[0]):
            if image_matrix[i,j] == 0: # Le pixel est noir
                liste_pixel.append((i,j)) # Ajout du pixel dans la matrice

    Lx=image_gris.size[0]
```

```
Ly=image_gris.size[1]
pixels_matrice=pl.array(liste_pixel) # Conversion pylab array

# On ne considère que l'échelle logarithmique
echelles=np.logspace(1, 8, num=20, endpoint=False, base=2) #ln(2)

Ns=[]

# Boucle de 'plusieurs échelles'
for echelle in echelles:
    print ('===== Échelle :', echelle)
    # Graphe
    H, edges=np.histogramdd(pixels_matrice, bins=(np.arange(0,Lx,echelle),np.arange(0,Ly,echelle)),
    Ns.append(np.sum(H > 0))

# Regression linéaire
coeffs=np.polyfit(np.log(echelles), np.log(Ns), 1)

D = round(-coeffs[0], 3) # Opposé de la pente

# Style tracé
pl.plot(np.log(echelles),np.log(Ns), 'o', mfc='none', label='data')
pl.plot(np.log(echelles), np.polyval(coeffs,np.log(echelles)),label='fit') #Régression
pl.xlabel('log $\\epsilon$') # Taille de la boîte considérée
pl.ylabel('log N')
pl.title( image_mat + ' D = '+str(D))
pl.show()

# Stop chronomètre
temps = time.time()-t_debut

return (D, round(temps, 3) )

print(Box_counting('SIERPINSKI.png'))
```



# Annexes

## 4 Algorithme de box counting appliqué à une subdivision d'image

```
# Import bibli
from PIL import Image
from itertools import product
import numpy as np
import pylab as pl
import time
import os

'''version qui prend en entrée le format image PIL. Box counting renvoie la
→ dimension fractale d'une image. tile() prend en entrée une image et subdivise
→ cette image en images de côté d. Puis, dans la même boucle, on applique
→ l'algorithme de Box counting à chaque subdivision créée.
```

Le dictionnaire renvoyé contient les dimensions fractales de chaque boîte, de bas  
→ en haut et de gauche à droite (l'origine se situant au coin supérieur gauche).  
→ '''

```
def Box_counting1(image):

    d = {}
    t_debut = time.time() #chronomètre

    image_grayscale = image.convert('L') # on la convertit en nuances de gris

    image_matrix = np.asmatrix(image_grayscale).copy() #adaptation numpy

    thresh = 0 # 0:black 255:white // valeur arbitraire du thresholding

    for i in range(image.size[1]): #hauteur
        for j in range(image.size[0]): #largeur
            if image_matrix[i,j] > thresh:
                image_matrix[i,j] = 255 # blanc
            else:
                image_matrix[i,j] = 0 # noir

    # liste des coordonnées de pixel noirs
    pixels=[]
    for i in range(image.size[1]):
        for j in range(image.size[0]):
            if image_matrix[i,j] == 0: # pixel is black
                pixels.append((i,j)) # on le compte
```

```
Lx=image_grayscale.size[0]
Ly=image_grayscale.size[1]

pixels=pl.array(pixels) # conversion pylab array

if len(pixels)!=0:
    scales=np.logspace(1, 8, num=20, endpoint=False, base=2) #ln(2)

    Ns=[]

    #boucle de plusieurs echelles
    for scale in scales:
        #print ('===== Scale :', scale) #vérif à virer

        #graphe
        H, edges=np.histogramdd(pixels,
            ↳ bins=(np.arange(0,Lx,scale),np.arange(0,Ly,scale)))
        Ns.append(np.sum(H > 0))

        a = np.log(scales)
        u = a.tolist()
        for i in range(len(Ns)):
            if 0 in Ns:
                Ns.remove(0)
                u.pop(-1)

        fin = np.array(u)
        # regression linéaire
        coeffs=np.polyfit(fin, np.log(Ns), 1)

        D = round(-coeffs[0], 3) # oppose de la pente
        d['dim'] = D

    else:
        d['dim']=0
        temps = time.time()-t_debut #stop chrono
        #affichage
        d['temps'] = round(temps, 4)
        return d

def tile(d, name):
    img = Image.open(name)
    w, h = img.size

    l = {}
    count = 1
    grid = product(range(0, h-h//d, d), range(0, w-w//d, d))
    for i, j in grid:
        box = (j, i, j+d, i+d)
        a = img.crop(box) # On divise l'image en boîtes de côté d
        u = Box_counting1(a) # On applique un algorithme de box counting à
            ↳ chacune d'entre elles
        l[str(count)] = u # On ajoute la dim dans un dico (clef = indice)
        count+=1

    return l, w #renvoie le dico des dimensions
```

# Annexes

## 5 Affichage subdivision Tkinter

```
#BIBLIOTHEQUES
from PIL import Image, ImageTk
import pylab as pl
import tkinter as Tk
import numpy as np
import recup

#TKINTER
# Tkinter frame
win = Tk.Tk()

#IMAGE
picture = "Paris3.png"
im = Image.open(picture)
bg = Tk.PhotoImage(file = picture)

# Image sur le canevas
win.geometry(str(im.size[0])+'x'+str(im.size[1]))
label1 = Tk.Label(win, image = bg)
label1.place(x = 10, y = 0)

d = 70 # Taille des boites
u = recup.tableau_dimension(d, picture) # On récupère le tableau des dimensions
→ obtenu dans le module 'recup'

# Construction de la liste t
t = [] # On convertit la 'liste de liste' en une simple liste
for i in range(len(u)):
    t+=u[i]
t.pop(0)
t.append(0)

# Affichage des boites contenant la dimension fractale sur tkinter
for i in range(len(t)):
    _ = recup.numero_vers_coordonnees(i,int(im.size[0]/d)) # On convertit le
    → numéro de la boite en coordonnées de la boite
    label2 = Tk.Label( win, text = str(t[i]), relief = "raised" )
    label2.place(x = _[0]*d+int(d/2) , y = _[1]*d+int(d/2)) # On place la boite

win.mainloop()
```

# Annexes

## 6 Histogramme dimension fractale

```
#BILI
import numpy as np
import matplotlib.pyplot as plt
import matplotlib as mpl
from matplotlib.colors import ListedColormap, LinearSegmentedColormap
import numpy as np
import recup

d = 5 # Taille des 'sous-images'

#issu de :
↪ https://matplotlib.org/stable/tutorials/colors/colormap-manipulation.html#sphx-glr-tutorials-colors-colormap-m

'''Prend en entrée colormaps: une palette de couleur dans le module cmp'''

def plot_examples(colormaps):
    name = 'Paris.png'
    data = recup.tableau_dimension(d, name) # Nombre de carrés
    n = len(colormaps)
    fig, axs = plt.subplots(1, n, figsize=(n * 2 + 2, 3),
                           constrained_layout=True, squeeze=False)
    for [ax, cmap] in zip(axs.flat, colormaps):
        psm = ax.pcolormesh(data, cmap=cmap, rasterized=True, vmin=0, vmax=2.2) #
        ↪ Plage de variation des couleurs

        fig.colorbar(psm, ax=ax)
        plt.title('Paris et sa banlieue')
        plt.show()

viridis = mpl.colormaps['jet'].resampled(256)

plot_examples([viridis])
```

# Annexes

## 7 Algorithme de dilatation d'une image

*#Ce programme permet la dilatation d'une image  
# adapté de:  
→ <https://openclassrooms.com/fr/courses/5060661-initiez-vous-aux-traitements-de-base-des-images-numeriques/5217276-maitrisez-les-operations-morphologiques-de-base>*

```
# Import bibli
import cv2 as cv
import numpy as np
import matplotlib.pyplot as plt
```

```
# Fonctions -----
def convolution (image,filtre,function):
    new_image = np.zeros(image.shape, int)
    for i in range(0,image.shape[0]):
        for j in range(0,image.shape[1]):
            new_image[i,j] = function(image,i,j,filtre)
    return new_image
```

```
# Dilatation
def pixel_erosion(image, ligne, colonne, elmt_structurant):
```

```
    width = len(elmt_structurant) // 2
    height = len(elmt_structurant[0]) // 2
    pixel_value = True;
```

```
    for i in range(0,len(elmt_structurant)):
        for j in range(0,len(elmt_structurant[0])):
            x_image = ligne + i - width
            y_image = colonne + j - height
```

```
            if((x_image >= 0) and (x_image < image.shape[0]) and (y_image>=0) and
            → (y_image<image.shape[1])):
                if (elmt_structurant[i,j] and not(image[x_image,y_image])):
                    pixel_value = False
```

```
    return pixel_value
```

```
def erosion(image, elmt_structurant):
    return convolution(image,elmt_structurant,pixel_erosion)
```

```
def ero(image):
    return erosion(image, filtre)
```

```
# Image et filtre
image = cv.imread('18e.png',0)
```

```
filtre = np.array([[0, 0, 1, 0, 0], [0, 0, 1, 0, 0], [1, 1, 1, 1, 1], [0, 0, 1,
→ 0, 0], [0, 0, 1, 0, 0]])
```

```
'''
Filtre de la forme :
[[0 0 1 0 0]
 [0 0 1 0 0]
 [1 1 1 1 1]
 [0 0 1 0 0]
 [0 0 1 0 0]]
'''
```

```
# Affichage matplotlib
objet = ero(image)
```

```
plt.figure()
plt.imshow(objet,cmap='gray')
plt.show()
```

# Annexes

## 8 Fonction de Weierstraß

```
import numpy as np
import matplotlib.pyplot as plt

M = 100000

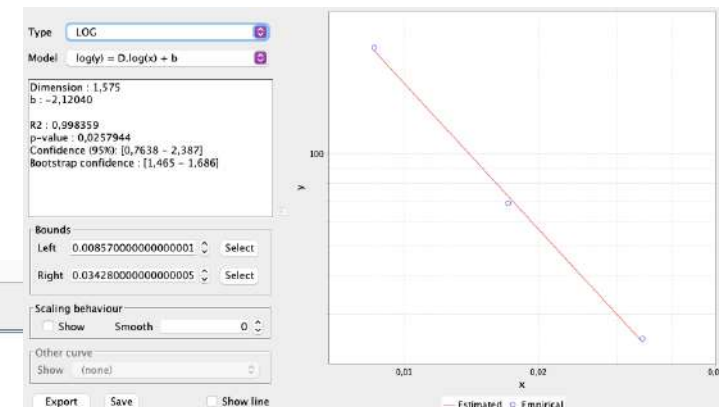
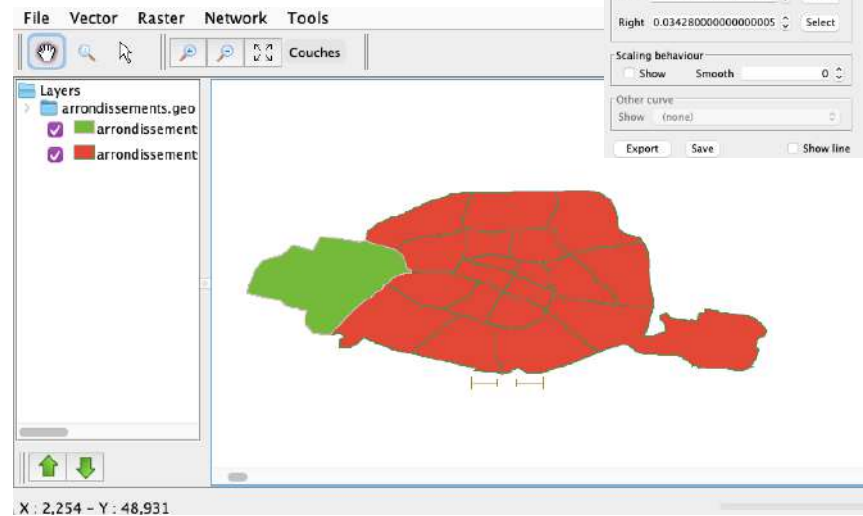
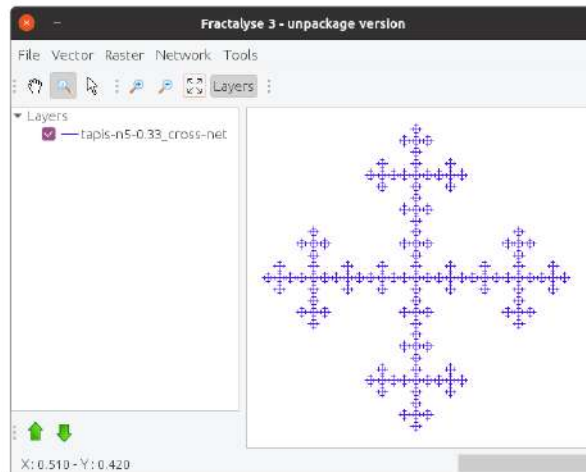
def weierstrass(x, N):
    y = np.zeros((1,M))
    for n in range(1,N):
        y = y + np.cos(3**n*np.pi*x)/2**n
    return y

x = np.linspace(-2,2,M)
y = np.reshape(weierstrass(x,500),(M,))

plt.plot(x, y, 'r-')
plt.show()
```

# Annexes

## Logiciel Fractalyse



Fractalyse est un logiciel dédié à l'analyse fractale de modèles 2D (ensembles de points). Cette version a été écrite en langage Java, à partir de laquelle résulte l'amélioration de la gestion des données avec SIG (Systèmes d'Information Géographique), interface utilisateur graphique et la performance avec le parallélisme.

Fractalyse a été développée par Gilles Vuidel au laboratoire Théma (CNRS – Université de Franche-Comté, Besançon, France).